

Jean-Pierre Brun, Adam Bülow-Jacobsen, Dominique Cardon, Hélène Eristov, Hero Granger-Taylor,
Martine Leguilloux, Witold Nowik, Michel Reddé, Margareta Tengberg

Hélène Cuvigny (éd.)

DIDYMOI

Une garnison romaine dans le désert Oriental d'Égypte

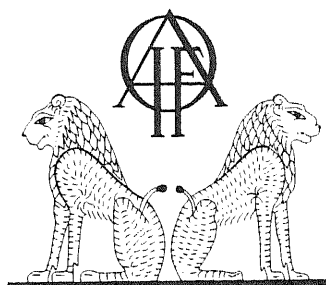
Praesidia du désert de Bérénice IV

I – LES FOUILLES ET LE MATÉRIEL

avec des contributions de Françoise Briquel-Chatonnet et de Traianos Gagos †

et la collaboration de Florence André et de Khaled Zaza

Ouvrage publié avec le concours du CIHAM-UMR 5648



Institut français d'archéologie orientale

Fouilles de l'Ifao 64 – 2011

SOMMAIRE

AVANT-PROPOS [H. CUVIGNY]	XI
REMERCIEMENTS	XV
ABRÉVIATIONS BIBLIOGRAPHIQUES	XVII

Première partie

LA FOUILLE

CHAPITRE I

LE CADRE HISTORIQUE [H. CUVIGNY]	3
I. La route de Bérénice	3
II. Toponymie antique et moderne	5

CHAPITRE II

LE CADRE GÉOGRAPHIQUE [J.-P. BRUN, M. REDDÉ]	9
I. Le paysage [M. REDDÉ]	9
II. Les alentours immédiats du <i>praesidium</i> [J.-P. BRUN]	14
1. Le cimetière	14
2. L'abri sur le col	14

CHAPITRE III

LE FORT [J.-P. BRUN, M. REDDÉ]	17
I. Description générale [M. REDDÉ]	17
II. L'enceinte	18
1. La porte centrale [J.-P. BRUN]	18
2. Les réfections de la courtine orientale [M. REDDÉ]	19
III. Les installations hydrauliques	20
1. Le puits et la machine élévatoire [J.-P. BRUN]	20
2. Les citernes intérieures [M. REDDÉ, J.-P. BRUN]	21
3. Les abreuvoirs extérieurs [J.-P. BRUN, M. REDDÉ]	24
4. Les thermes [M. REDDÉ]	24

IV. Les « casernements »	25
1. La rangée sud et l'angle sud-ouest [M. REDDÉ]	25
– Pièce 44	26
– Pièce 43	26
– Pièce 41	27
– Pièce 39	27
– Pièce 37	28
– Pièce 37b	28
– Pièce 36b	28
– Pièce 36a	29
– Pièce 33	29
– Pièce 35a	29
– Pièce 35b	30
– Pièce 34	30
– Pièce 32	31
– Pièce 31	31
– Pièce 28	32
– Pièces 29-30	33
– Secteur 40-42-44	33
2. Les bâtiments de l'angle nord-ouest [J.-P. BRUN]	33
A. Description	33
– Pièce 20	33
– Pièce 19	35
– Pièce 21 (sanctuaire)	37
– Espace 18	39
– Pièce 22	41
– Pièce 23	42
B. Phasage et interprétation de la zone nord-ouest	43
V. L' <i>aedes</i> de Didymoi [M. REDDÉ, J.-P. BRUN]	47
1. Une <i>aedes</i> secondaire	47
2. Pour quel culte ?	50
3. Les <i>dipinti</i> pariétaux [H. CUVIGNY]	52
VI. Le mobilier issu des dépotoirs à l'intérieur du fort [J.-P. BRUN]	53

CHAPITRE IV

LE DÉPOTOIR [J.-P. BRUN]	115
Analyse et phasage du dépotoir	115
– Phase 1 : construction du fort (76/77)	116
– Phase 2 : premiers niveaux d'occupation (entre 77 et c. 88-92)	117
– Phase 3 : creusement d'une citerne en 88-92	118
– Phase 4 : construction des premières soues et phase intense d'occupation du fort	119
– Phase 5 : dépôts de détritrus, la porcherie reste en fonction	121
– Phase 6 : construction d'une citerne (3 ou 4) en 96 ou après	121
– Phase 7 : construction et utilisation des soues n ^{os} 2 et 3 (<i>post</i> 96 à <i>post</i> 106)	123
– Phase 8 : soue n ^o 4 (<i>post</i> 106 à c. 115 ?)	124

SOMMAIRE

– Phase 9 : nettoyages réguliers	125
– Phase 10 (<i>post</i> 123-c. 150)	126
– Phase 11 : travaux intensifs dans le fort suivis de rejets de déchets (176/177 à 200-210, voire c. 220)	128

CHAPITRE V

DE VESPASIEN À LA CRISE DU III^e SIÈCLE :

CHRONOLOGIE GÉNÉRALE DE DIDYMOI [J.-P. BRUN, H. CUVIGNY, M. REDDÉ]	157
--	-----

Deuxième partie

LE MATÉRIEL ANÉPIGRAPHE

CHAPITRE VI

LES ANIMAUX À DIDYMOI D'APRÈS LES RESTES FAUNIQUES

DU DÉPOTOIR EXTÉRIEUR [M. LEGUILLOUX]	167
I. L'étude archéozoologique	167
1. Méthodologie et taphonomie	167
A. Méthodologie	167
B. Formation du dépôt et taphonomie	168
2. Les espèces domestiques et sauvages	169
A. Les porcs	169
B. Les moutons et les chèvres	170
C. Les dromadaires	171
D. Les équidés	171
E. La volaille	172
F. Les chiens	172
G. La faune sauvage	173
H. La faune marine	173
II. Conclusion	173
1. Le transport	174
2. L'alimentation	175

CHAPITRE VII

L'ACQUISITION ET L'UTILISATION DES PRODUITS VÉGÉTAUX À DIDYMOI.

ANALYSE ARCHÉOBOTANIQUE [M. TENGBERG]	205
I. Matériel et méthodes	205
II. Résultats de l'analyse carpologique	206
A. Céréales	206
B. Graminées sauvages	207
C. Légumineuses cultivées	207
D. Légumes	208
E. Aromates	208

F. Espèces fruitières	209
G. Plantes du désert	209
III. Résultats de l'analyse xylogique	210
IV. Conclusion	211
CHAPITRE VIII	
LES OBJETS EN VERRE [J.-P. BRUN]	215
I. Typologie	215
1. La vaisselle	215
2. Objets de parure et de toilette	223
A. Perles	223
B. Balsamiques	223
C. Flacons à khôl	224
3. Les blocs de verre brut	225
II. Les faciès	226
CHAPITRE IX	
LES MEULES [J.-P. BRUN]	243
CHAPITRE X	
LES OBJETS EN CUIR [M. LEGUILLOUX]	251
CHAPITRE XI	
LES CUIRS PEINTS [H. ERISTOV]	257
I. Les objets	257
1. Inv. 739	257
A. Description des fragments	257
B. Hypothèses de restitution	259
2. Inv. 737	260
A. Description des fragments	260
B. Hypothèse de restitution	261
3. Inv. 738	261
II. Les techniques du cuir	261
III. Interprétation	263
1. Iconographie du groupe inv. 739	263
2. Fonction : des revêtements de boucliers ?	264

CHAPITRE XII

WHAT DID THEY LOOK LIKE? FRAGMENTS OF CLOTHING FOUND AT DIDYMOI:

CASE STUDIES [D. CARDON, H. GRANGER-TAYLOR, W. NOWIK]	273
I. Dress and Identity:	
An Approach to the Archaeological Textiles from the <i>Praesidia</i>	273
II. Using Textiles to the Last Shred: Pillow D98.2511.1 and <i>Kentrônes</i>	276
III. Tunic Fragments in Didymoi.	
Colour Schemes, Common and Less Common Decorative Patterns	282
1. Fragments of Roman-Type, Two-Piece Sleeveless Tunics	285
A. Tunics with Broad “Purple” <i>Clavi</i> on Undyed Grounds	285
B. Composite Purple Bands on Undyed Grounds:	
Fragments from Undertunics?	289
2. Fragments Probably Belonging to One-Piece, Long-Sleeved Tunics.	
A New Era of Decorative Motifs: Stepped Pyramids, Purple Triangles,	
Arrowheads and <i>Swastikas</i>	293
3. Two-Piece Sleeveless Tunics with Coloured Grounds.	
Women and Fashion at Didymoi?	302
IV. Belts	306
V. Mantles: Greek <i>Himation</i> , Latin <i>Pallium</i> (for Men), <i>Palla</i> (for Women)	308
1. Fragments of Undyed Mantles with Purple Ornaments in Tapestry Weave	310
2. Fragments of Mantles with Plain Dyed Grounds,	
as Depicted in Mummy Portraits of Women	314
3. Fragments of Mantles with Dyed Grounds and Tapestry Ornaments	316
VI. Cloaks, Civilian and Military	319
1. Dark Blue Cloaks at Didymoi and in the Mummy Portraits of Soldiers	323
2. Other Fragments with Curved Edges from Semi-Circular Cloaks	330
3. Red Cloaks?	332
4. Fragments from the Hoods of Cloaks and Evidence of Refurbishment	336
VII. Scarves	341
VIII. Caps	344
IX. Socks, and Fragments in Crossed Looping Probably from Socks	349
 PLANCHES	 363
TABLE DES FIGURES	397
TABLE DES PLANCHES	407

TABLE DES FIGURES

<p>Fig. 1 XII MS. Wilkinson dep. d. 48, p. 142. Reproduit avec l'aimable autorisation du <i>National Trust, Gardner-Wilkinson Collection (Bodleian Library)</i>.</p> <p>Fig. 2 II Le <i>Paneion</i> d'al-Buwayb (cl. A.Bülow-Jacobsen).</p> <p>Fig. 3 II D'al-Buwayb à Didymoi (dessin M. Reddé).</p> <p>Fig. 4 12 Plan de situation de Didymoi (dessin M. Reddé).</p> <p>Fig. 5 12 Le <i>Paneion</i> du wâdî Minayh (cl. J.-P. Brun).</p> <p>Fig. 6 12 Intérieur du <i>Paneion</i> du wâdî Minayh (cl. J.-P. Brun).</p> <p>Fig. 7 12 Plan du <i>Paneion</i> du wâdî Minayh (dessin J.-P. Brun).</p> <p>Fig. 8 13 Les deux rochers inscrits du wâdî Minayh al-Jîr (cl. J.-P. Brun).</p> <p>Fig. 9 13 Le <i>praesidium</i> d'Aphroditès (cl. A. Bülow-Jacobsen).</p> <p>Fig. 10 15 Le cimetière dévasté par les pillages (cl. J.-P. Brun).</p> <p>Fig. 11 15 Tombe n° 1 (cl. A. Bülow-Jacobsen).</p> <p>Fig. 12 15 Tombe n° 2 (cl. J.-P. Brun).</p> <p>Fig. 13 15 Relevé de la tombe n° 2 (dessin J.-P. Brun).</p> <p>Fig. 14 16 Tombe n° 2. Le squelette (cl. J.-P. Brun).</p>	<p>XII</p> <p>II</p> <p>II</p> <p>12</p> <p>12</p> <p>12</p> <p>12</p> <p>12</p> <p>13</p> <p>13</p> <p>15</p> <p>15</p> <p>15</p> <p>15</p> <p>16</p>	<p>Fig. 15 16 Périostite bilatérale des tibias (cl. J.-P. Brun).</p> <p>Fig. 16 16 L'abri sur le col (cl. J.-P. Brun)</p> <p>Fig. 17 16 L'abri sur le col (dessin J.-P. Brun)</p> <p>Fig. 18 55 Plan général du fortin (dessin M. Reddé, d'après le plan général de J.E. Knudstad, complété et modifié avec les données des fouilles françaises).</p> <p>Fig. 19 56 Vue générale du fortin (cl. M. Reddé).</p> <p>Fig. 20 56 La courtine arrière (cl. M. Reddé).</p> <p>Fig. 21 56 Cavité formée par le puits effondré (cl. M. Reddé).</p> <p>Fig. 22 56 Le fortin, vue depuis le sud-ouest (cl. M. Reddé).</p> <p>Fig. 23 56 L'angle sud-ouest et la courtine sud (cl. M. Reddé).</p> <p>Fig. 24 56 La courtine occidentale, vue depuis l'intérieur (cl. M. Reddé).</p> <p>Fig. 25 57 L'angle nord-ouest du fort et la porte (cl. M. Reddé).</p> <p>Fig. 26 57 État primitif de la porte du fortin (cl. J.-P. Brun).</p> <p>Fig. 27 57 Deuxième état de la porte (cl. J.-P. Brun).</p> <p>Fig. 28 57 Deuxième état de la porte, vue depuis l'ouest (cl. J.-P. Brun).</p>	<p>16</p> <p>16</p> <p>16</p> <p>55</p> <p>56</p> <p>56</p> <p>56</p> <p>56</p> <p>56</p> <p>56</p> <p>56</p> <p>57</p> <p>57</p> <p>57</p> <p>57</p>
--	--	---	---

Fig. 29	57	Fig. 47	62
Monnaie de billon, an 3 de Claude (cl. A. Bülow-Jacobsen).		Angle sud-ouest de la citerne 1 (cl. M. Reddé).	
Fig. 30	58	Fig. 48	63
Angle nord-est du fortin et courtine orientale (cl. M. Reddé).		Le conduit <i>a</i> (cl. M. Reddé).	
Fig. 31	58	Fig. 49	63
Réfection dans la courtine orientale (cl. M. Reddé).		La citerne 4 avant les fouilles (cl. M. Reddé).	
Fig. 32	58	Fig. 50	63
La poterne de la courtine orientale, vue depuis l'extérieur (cl. M. Reddé).		Citerne 4, l'escalier dans l'angle nord-est (cl. M. Reddé).	
Fig. 33	58	Fig. 51	63
La poterne, vue depuis l'intérieur (cl. M. Reddé).		Le conduit <i>e</i> (cl. M. Reddé).	
Fig. 34	58	Fig. 52	64
Bastion saillant le long de la courtine orientale (cl. M. Reddé).		Bouchon en argile estampillé (cl. A. Bülow-Jacobsen).	
Fig. 35	58	Fig. 53	64
L'intérieur du bastion, après la fouille (cl. M. Reddé).		Le bassin 3 (cl. J.-P. Brun).	
Fig. 36	59	Fig. 54	64
Plan des structures dans l'angle nord-est du fort (dessin M. Reddé).		Le bassin 2 (cl. J.-P. Brun).	
Fig. 37	60	Fig. 55-56	64
Godet de chaîne élévatoire (dessin J.-P. Brun).		Support du conduit alimentant les abreuvoirs extérieurs (cl. M. Reddé).	
Fig. 38	60	Fig. 57	65
Fondations de la citerne 1 (cl. M. Reddé).		Coupe CC' entre les abreuvoirs extérieurs et l'ensemble thermal (dessin M. Reddé).	
Fig. 39	60	Fig. 58	65
Vue générale des structures conservées au nord du puits (cl. M. Reddé).		Les thermes (dessin M. Reddé).	
Fig. 40	60	Fig. 59	66
Les citernes 1 et 3 (cl. M. Reddé).		Vue générale des thermes et citerne 2 (cl. M. Reddé).	
Fig. 41	61	Fig. 60	66
La citerne 1 et les structures adossées au rempart (cl. M. Reddé).		Le bain froid (cl. M. Reddé).	
Fig. 42	61	Fig. 61	67
Escalier miniature en argile crue (cl. A. Bülow-Jacobsen)		La salle chaude (cl. M. Reddé).	
Fig. 43	61	Fig. 62	67
La citerne 2 et l'ensemble thermal (cl. M. Reddé).		La pièce 9 et l'ensemble thermal (cl. M. Reddé).	
Fig. 44-45	62	Fig. 63	68
Sondage dans l'angle nord-ouest de la citerne 2 (cl. M. Reddé).		Plan des structures dans l'angle sud-ouest du fortin (dessin M. Reddé).	
Fig. 46	62	Fig. 64	69
Angle sud-est de la citerne 1 (cl. M. Reddé).		Pièces 44 et 43 (cl. J.-P. Brun).	
		Fig. 65	69
		Pièces 43 à 41 (cl. J.-P. Brun).	

TABLE DES FIGURES

Fig. 66-67	70	Fig. 87	77
Sceaux en grès (cl. A. Bülow-Jacobsen).		La pièce 33 et l'angle sud-ouest du fortin (cl. M. Reddé).	
Fig. 68a	70	Fig. 88	77
Œillets en fer ayant servi d'anses de chaudron (cl. A. Bülow-Jacobsen).		Le couloir 33 (cl. M. Reddé).	
Fig. 68b	70	Fig. 89	77
Chaudron trouvé à Xéron (cl. A. Bülow-Jacobsen).		Détail des structures du couloir 33 (cl. M. Reddé).	
Fig. 69	71	Fig. 90-91	78
L'entrée de la pièce 43 (cl. M. Reddé).		La pièce 35a (cl. M. Reddé).	
Fig. 70	71	Fig. 92	78
Pièces 43 à 37 (cl. M. Reddé).		La pièce 35b (cl. M. Reddé).	
Fig. 71	71	Fig. 93	78
Pièces 39 à 44 (cl. M. Reddé).		Détail du sol près du mur nord de la pièce 35a (cl. M. Reddé).	
Fig. 72	72	Fig. 94-96	79
La pièce 41 (cl. M. Reddé).		La pièce 34 (cl. M. Reddé).	
Fig. 73	72	Fig. 97	79
Façade de la pièce 41 (cl. M. Reddé).		Amphores posées sur le sol de la pièce 34 (cl. M. Reddé).	
Fig. 74	72	Fig. 98	80
Pièces 41 à 39 (cl. M. Reddé).		Figurine en terre cuite (cl. A. Bülow-Jacobsen).	
Fig. 75	73	Fig. 99	80
La pièce 39 (cl. M. Reddé).		Urne en <i>Eastern Desert Ware</i> (dessin J.-P. Brun).	
Fig. 76-77	73	Fig. 100	81
Les fours dans la pièce 39a (cl. M. Reddé et J.-P. Brun).		Coupe BB' à travers les pièces 35 à 28 (dessin M. Reddé).	
Fig. 78	73	Fig. 101	82
Les silos dans la pièce 39b (cl. J.-P. Brun).		Vue générale de l'angle sud-ouest du fortin (cl. M. Reddé).	
Fig. 79	74	Fig. 102	82
Coupe AA' à travers les pièces 44 à 35 (dessin M. Reddé).		Les pièces 30-31 (cl. M. Reddé).	
Fig. 80	75	Fig. 103	82
Premiers dégagements de la pièce 37 (cl. M. Reddé).		Les pièces 29-30 (cl. M. Reddé).	
Fig. 81	75	Fig. 104	82
Détail du sol dans la pièce 37b (cl. M. Reddé).		Les silos dans la pièce 28 (cl. M. Reddé).	
Fig. 82-83	75	Fig. 105	83
La pièce 36b (cl. M. Reddé).		Buste en terre cuite de Sarapis (cl. A. Bülow-Jacobsen).	
Fig. 84	76	Fig. 106	83
La pièce 36a et l'angle sud-ouest du fortin (cl. M. Reddé).		Vue d'ensemble du secteur nord-ouest : cour 18 et sanctuaire 21 (cl. J.-P. Brun).	
Fig. 85	76		
La pièce 36a (cl. M. Reddé).			
Fig. 86	76		
Fragment de table de jeu (cl. A. Bülow-Jacobsen).			

Fig. 107	84	Fig. 122	90
Plan du secteur nord-ouest avec numéros d'espaces et de murs (dessin J.-P. Brun).		Vue d'ensemble de la pièce 19 à la fin de la fouille (cl. J.-P. Brun).	
Fig. 108	84	Fig. 123	90
Bas-relief en terre cuite : Sarapis et Déméter (cl. A. Bülow-Jacobsen).		Pièce 19 : coupe I-I' (dessin J.-P. Brun).	
Fig. 109	85	Fig. 124	91
Pièce 20 : relevé de l'enduit peint ornant la face est du mur 2 (dessin J.-P. Brun).		Pièce 19 : plaque de grès représentant une grappe de raisin gravée (cl. A. Bülow-Jacobsen).	
Fig. 110	85	Fig. 125-126	91
Pièce 20 : enduit peint ornant la face est du mur 2 (cl. J.-P. Brun).		Pièce 19 : chapiteau nabatéen (cl. et dessin J.-P. Brun).	
Fig. 111	85	Fig. 127	91
Pièce 20 : les compartiments A à H et l'US 12010 (cl. J.-P. Brun).		Pièce 19 : sol 11914 incluant des meules à grain hors d'usage (cl. J.-P. Brun).	
Fig. 112	86	Fig. 128	91
Pièce 20 : les compartiments A à H, les US 12011 et 12012 (cl. J.-P. Brun).		Pièce 19 : statuette de divinité guerrière ou de soldat en stéatite (cl. A. Bülow-Jacobsen).	
Fig. 113	86	Fig. 129	92
Pièce 20 : les compartiments I à M et le sol 12023 (cl. J.-P. Brun).		Pièce 19 : détail du mur 5 et du sol chaulé 11919 (cl. J.-P. Brun).	
Fig. 114	86	Fig. 130	92
Pièce 20 : compartiments K et M (cl. J.-P. Brun).		Pièce 21 en cours de fouille (cl. J.-P. Brun).	
Fig. 115	86	Fig. 131	93
Pièce 20 : compartiments I, J et K (cl. J.-P. Brun).		Pièce 21 : vue générale (cl. J.-P. Brun).	
Fig. 116	87	Fig. 132	93
Plan du secteur nord-ouest portant l'indication de l'emplacement des coupes (dessin J.-P. Brun).		Pièce 21 : le mur de fond du sanctuaire et ses niches (cl. J.-P. Brun).	
Fig. 117	88	Fig. 133	94
Pièces 19 et 20 coupe D-D' (dessin J.-P. Brun).		Pièce 21 : relevé géométral du mur du fond du sanctuaire (dessin J.-P. Brun).	
Fig. 118	88	Fig. 134	95
Pièces 19-20 et citerne 4, coupe E-E' (dessin J.-P. Brun).		Pièce 21 : fragment d'enduit avec dipinto <i>feliciter</i> (cl. J.-P. Brun).	
Fig. 119	89	Fig. 135	95
Pièces 19 et 20 : fusaiöle, peson, objets en fer et capsules en plâtre (dessin J.-P. Brun).		Pièce 21 : la niche nord encadrée par des boudins d'argile (cl. J.-P. Brun).	
Fig. 120	89	Fig. 136	95
Pièce 20 : monnaie de billon (an 5 d'Élagabale) (cl. A. Bülow-Jacobsen).		Pièce 21 : enduit peint représentant un soldat (cl. J.-P. Brun).	
Fig. 121	89	Fig. 137	96
Pièce 20 : plaquette en schiste représentant un des Dioscures et son cheval (cl. J.-P. Brun).		Pièce 21 : le socle axial et les trois niches (cl. J.-P. Brun).	

TABLE DES FIGURES

Fig. 138	96	Fig. 155	100
Pièce 21 : autel secondaire 48 et base de statue (cl. J.-P. Brun).		Espace 18 : pectoral avec <i>uraeus</i> en terre cuite (cl. A. Bülow-Jacobsen).	
Fig. 139	96	Fig. 156	100
Pièce 21 : relevé de l'autel secondaire 48 (dessin J.-P. Brun).		Espace 18 : fragments d'une statuette de Sarapis debout (cl. A. Bülow-Jacobsen).	
Fig. 140-141	97	Fig. 157	101
Pièce 21 : coupes F-F' et H-H' (dessins J.-P. Brun).		Espace 18 : statuette de sphinx en grès (cl. J.-P. Brun).	
Fig. 142	98	Fig. 158-159	101
Tête d'une statuette de Sarapis en grès (cl. A. Bülow-Jacobsen).		Espace 18 : fragments de deux tables d'autel en grès (cl. J.-P. Brun).	
Fig. 143	98	Fig. 160-161	101
Écailles de <i>lorica squamata</i> (cl. A. Bülow-Jacobsen).		Espace 18 : tables d'offrandes en grès (cl. J.-P. Brun).	
Fig. 144	98	Fig. 162	102
Pièce 21 : sol de briques du sanctuaire (US 12107-état 5) (cl. J.-P. Brun).		Espace 18 : table de jeu en granit (cl. J.-P. Brun).	
Fig. 145	98	Fig. 163	102
Pièce 21 : sol primitif du sanctuaire, en dalles de grès (US 12141-état 3) (cl. J.-P. Brun).		Espace 18 : table de jeu en grès (cl. J.-P. Brun).	
Fig. 146	98	Fig. 164	102
Espace 18 : vue générale (cl. J.-P. Brun).		Espace 18 : fragment de bas-relief en grès (jambes d'un dromadaire ?) (cl. A. Bülow-Jacobsen).	
Fig. 147	99	Fig. 165	102
Espace 18 : banquettes 25 (cl. J.-P. Brun).		Espace 18 : foyer à l'extrémité sud de la banquettes 25 (cl. J.-P. Brun).	
Fig. 148	99	Fig. 166	102
Espace 18 : autel situé devant l'entrée du sanctuaire 21 (cl. J.-P. Brun).		Pièce 22 : banquettes A (cl. J.-P. Brun).	
Fig. 149	99	Fig. 167	103
Espace 18 : peinture décorant l'autel (cl. J.-P. Brun).		Pièce 22 : coupe stratigraphique G-G' (dessin J.-P. Brun).	
Fig. 150	99	Fig. 168	103
Espace 18 : escalier d'accès au puits (cl. J.-P. Brun).		Pièce 22 : cachet en grès (cl. J.-P. Brun).	
Fig. 151	99	Fig. 169	103
Espace 18 : canalisations reliant le puits et les citernes (cl. J.-P. Brun).		Pièce 22 : manche de couteau en os (cl. A. Bülow-Jacobsen).	
Fig. 152	99	Fig. 170	104
Espace 18 : les silos n° 43 et 49 (cl. J.-P. Brun).		Pièce 22 : comblement de la fosse 12212 formé d'amphores (cl. J.-P. Brun).	
Fig. 153	100	Fig. 171	104
Espace 18 : tête de statuette féminine en argile crue dorée (cl. A. Bülow-Jacobsen).		Vue générale des pièces 23 et 24 (cl. A. Bülow-Jacobsen).	
Fig. 154	100	Fig. 172	105
Espace 18 : groupe coroplastique fragmentaire (cl. A. Bülow-Jacobsen).		Pièce 23 : vue d'ensemble (cl. A. Bülow-Jacobsen).	

Fig. 173	104	Fig. 190	130
Pièce 23a: la banquettes et la porte bouchée entre les pièces 22 et 23b (cl. A. Bülow-Jacobsen).		Le dépotoir à la fin de la campagne 2000 (cl. J.-P. Brun).	
Fig. 174	105	Fig. 191	131
Silos de la pièce 23b et four de la pièce 24 (cl. A. Bülow-Jacobsen).		Plan de la zone de décharge au nord de la porte (dessin J.-P. Brun).	
Fig. 175	105	Fig. 192	132
Pièce 23a: tuyau de plomb en place (cl. A. Bülow-Jacobsen).		Diagramme stratigraphique du dépotoir (dessin J.-P. Brun).	
Fig. 176-178	106	Fig. 193	133
Pièce 23a: tuyau de plomb déplié (cl. A. Bülow-Jacobsen).		Coupe stratigraphique des carrés 13-43 (dessin J.-P. Brun).	
Fig. 179	107	Fig. 194	134
Secteur nord-ouest du fort: plan des structures de l'état 1 (dessin J.-P. Brun).		Coupe stratigraphique des carrés 04-44 (dessin J.-P. Brun).	
Fig. 180	108	Fig. 195	135
Secteur nord-ouest du fort: plan des structures de l'état 2 (dessin J.-P. Brun).		Coupe stratigraphique des carrés 05-35 (dessin J.-P. Brun).	
Fig. 181	109	Fig. 196	135
Secteur nord-ouest du fort: plan des structures de l'état 3 (dessin J.-P. Brun).		Coupe ouest du carré 14 (cl. J.-P. Brun).	
Fig. 182	110	Fig. 197	136
Secteur nord-ouest du fort: plan des structures de l'état 4 (dessin J.-P. Brun).		Tout premier nettoyage du fort à la fin de sa construction: vaisselle et amphores dans l'US 9 de la phase 1 (cl. J.-P. Brun).	
Fig. 183	111	Fig. 198	136
Secteur nord-ouest du fort: plan des structures de l'état 5 (dessin J.-P. Brun).		Élément en os peut-être destiné à fixer la corde sur un arc (cl. A. Bülow-Jacobsen).	
Fig. 184	112	Fig. 199	137
Secteur nord-ouest du fort: plan des structures de l'état 6 (dessin J.-P. Brun).		Matériel non céramique des phases 1 à 6 (dessins J.-P. Brun).	
Fig. 185	113	Fig. 200	138
Fragment de décor en argile incrustée (cl. J.-P. Brun).		Vaisselle et amphores dans l'US 14 de la phase 2 (cl. J.-P. Brun).	
Fig. 186	113	Fig. 201	138
Fortin «In der Harlach» (d'après G. Ulbert, Th. Fischer, <i>Der Limes in Bayern</i> , Stuttgart, 1983, p. 87).		Matériel de la phase 2 (cl. A. Bülow-Jacobsen).	
Fig. 187	113	Fig. 202	139
Stèle de Villalis (<i>CIL</i> II, 2553) (cl. A. Morillo Cerdan).		Matériel de la phase 3 (cl. J.-P. Brun).	
Fig. 188	113	Fig. 203-204	139
Enduit inscrit (cl. A. Bülow-Jacobsen).		Soue n° 1 lors de la phase 4 (cl. J.-P. Brun).	
Fig. 189	130	Fig. 205	140
Le dépotoir en cours de fouille (cl. J.-P. Brun).		Plan de la soue n° 1, lors de la phase 4 (dessin J.-P. Brun).	

TABLE DES FIGURES

Fig. 206	140	Fig. 222	144
Auges en grès de la soue n° 1 (cl. J.-P. Brun).		Plan de la soue n° 3 (dessin J.-P. Brun).	
Fig. 207	140	Fig. 223	145
Coupe de la soue n° 1 (dessin J.-P. Brun).		Chien enveloppé dans un sac déposé dans le carré 15 (phase 7, US 98) (cl. J.-P. Brun).	
Fig. 208	141	Fig. 224	145
Matériel de la phase 4 (cl. A. Bülow-Jacobsen).		Sceau en argile provenant de l'US 117 (phase 7) (cl. A. Bülow-Jacobsen).	
Fig. 209	141	Fig. 225	145
Rejet d'ossements d'un âne dans l'US 76 (cl. J.-P. Brun).		La soue n° 3 lors de son abandon (cl. J.-P. Brun).	
Fig. 210	141	Fig. 226	146
Rehaussements successifs du mur sud de la soue n° 1 (cl. J.-P. Brun).		Matériel de la phase 8 (cl. A. Bülow-Jacobsen).	
Fig. 211	141	Fig. 227	146
Monnaie de bronze, an 8 de Vespasien (cl. A. Bülow-Jacobsen).		Matériel de la phase 8 (dessins J.-P. Brun).	
Fig. 212	142	Fig. 228	147
Matériel de la phase 5 (cl. A. Bülow-Jacobsen).		Matériel de la phase 9 (cl. A. Bülow-Jacobsen).	
Fig. 213	143	Fig. 229	148
La couche de tissus, cuir, nattes et vaisselle US 91 correspondant au nettoyage et à la destruction de casernements pour faire place à une citerne (cl. J.-P. Brun).		Matériel de la phase 9 (dessins J.-P. Brun).	
Fig. 214	143	Fig. 230	149
Aspect de l'US 91 de la phase 6, carré 15: une outre (cl. J.-P. Brun).		Vestiges de la soue n° 5 (phase 10a, US 165) (cl. J.-P. Brun).	
Fig. 215	143	Fig. 231	149
Natte en sparterie jetée dans l'US 91 de la phase 6 (cl. J.-P. Brun).		Couche de vaisselle et d'amphores cassées US 186 de la phase 10b (cl. J.-P. Brun).	
Fig. 216	143	Fig. 232	149
Amphores brisées dans l'US 91 de la phase 6 (cl. J.-P. Brun).		Aspect de la couche d'amphores US 191 de la phase 10b (cl. J.-P. Brun).	
Fig. 217	143	Fig. 233	150
Sandale en cuir jetée lors de la phase 6 (cl. J.-P. Brun).		Matériel de la phase 10 (dessins J.-P. Brun).	
Fig. 218	143	Fig. 234	151
Table de jeu en schiste (cl. A. Bülow-Jacobsen).		Matériel de la phase 10 (cl. A. Bülow-Jacobsen).	
Fig. 219	144	Fig. 235	152
L'US 106 de la phase 7 composée d'amphores, d'ostraca et d'objets en cuir (cl. J.-P. Brun).		Matériel de la phase 10 (cl. J.-P. Brun).	
Fig. 220	144	Fig. 236	153
La soue n° 2 (US 99) du début de la phase 7 (cl. J.-P. Brun).		Fragments de tables de jeu, phase 10 (cl. A. Bülow-Jacobsen).	
Fig. 221	144	Fig. 237	153
Vue zénithale de la soue n° 3 (US 108) (cl. J.-P. Brun).		Applique en céramique peinte (cl. A. Bülow-Jacobsen).	
		Fig. 238	154
		Corps de chien enveloppé dans un sac de toile et déposé dans une fosse creusée dans l'US 205, phase 11 (cl. J.-P. Brun).	

Fig. 239	154	Fig. 254	204
Amas de fonds d'amphores provenant de la démolition d'un four (US 211) (cl. A. Bülow-Jacobsen).		Les animaux de charge par rapport aux autres espèces au cours des différentes phases d'occupation du site (% du NRD global).	
Fig. 240	154	Fig. 255	204
Matériel de la phase II (cl. A. Bülow-Jacobsen).		Les principales espèces consommées (petit bétail, volailles et faune sauvage) et les animaux de charge au cours des différentes phases d'occupation du site (% du NRD global).	
Fig. 241	155	Fig. 256	214
Matériel de la phase II (dessins J.-P. Brun).		Grain de riz (<i>Oryza sativa</i>) desséché (cl. M. Tengberg).	
Fig. 242	196	Fig. 257	214
Courbes de fréquence des restes des espèces consommées sur le site au cours des différentes phases d'occupation (% sur NRD global).		Fruit fragmentaire de coriandre (<i>Coriandrum sativum</i>) (cl. M. Tengberg).	
Fig. 243	196	Fig. 258	214
Les porcs: répartition du nombre minimum d'individus par groupes d'âges.		Endocarpe (noyau) fragmentaire d'olive (<i>Olea europaeae</i>) (cl. M. Tengberg).	
Fig. 244	197	Fig. 259	214
Proportions entre les moutons et les chèvres parmi les restes de caprinés déterminables.		Graine de coloquinte (<i>Citrullus colocynthis</i>) (cl. M. Tengberg).	
Fig. 245	197	Fig. 260	225
Les caprinés: la répartition du nombre minimum d'individus par groupes d'âges.		Bloc de verre brut (cl. A. Bülow-Jacobsen).	
Fig. 246	198	Fig. 261	229
Les animaux de portage au cours des différentes phases (% du NRD par rapport au NRD total).		Bols et coupes de types AR 2, 13, 14, 15, 16 (dessins Kh. Zaza).	
Fig. 247	198	Fig. 262	230
Ossements de dromadaire jetés à la surface de l'US 92 lors de la phase 6 (cl. J.-P. Brun).		Bols, plats et gobelets AR 16, 25, 33, 35, 37, 38-39, 40 (dessins Kh. Zaza).	
Fig. 248	199	Fig. 263	231
Ostéométrie des dromadaires. Les tibias.		Gobelets AR 43, 44, 45, 51 ou 100, 54 (dessins Kh. Zaza).	
Fig. 249	200	Fig. 264	232
Ostéométrie des dromadaires. Les talus.		Coupes, gobelets et bols AR 55, 58, 60 (dessins Kh. Zaza).	
Fig. 250	201	Fig. 265	233
Ostéométrie des dromadaires. Les phalanges 1 et les phalanges 2.		Gobelets et bols AR 60 (dessins Kh. Zaza).	
Fig. 251	202	Fig. 266	234
Patte arrière d'un âne en connexion anatomique (cl. J.-P. Brun).		Plats, gobelets et bols AR 75, 77, 79, 88 (dessins Kh. Zaza).	
Fig. 252	202	Fig. 267	235
Mandibule de hyène, individu très âgé avec molaires très arasées (cl. M. Leguilloux).		Gobelets AR 98/1 (dessins Kh. Zaza).	
Fig. 253	203		
Localisation des principaux sites cités dans le chapitre (dessin J.-P. Brun).			

TABLE DES FIGURES

Fig. 268	236	Fig. 285	254
Gobelets AR 98/1, 98/2 (dessins Kh. Zaza).		<i>Calceus</i> à empeigne fermée. D'après Leguilloux 2006a, pl. 26.	
Fig. 269	237	Fig. 286	254
Gobelets et vases fermés AR 98/2, 104, 114, 153 ?, 156, 160 (dessins Kh. Zaza).		<i>Calceus</i> à empeigne et à laçage continu sur le cou-de-pied. D'après Leguilloux 2006a, pl. 28.	
Fig. 270	238	Fig. 287	254
Vases fermés AR 163, 165, 169, 175 (dessins Kh. Zaza).		<i>Soccus</i> . D'après Leguilloux 2006a, pl. 30.	
Fig. 271	239	Fig. 288	255
Bols Harden 1936, n° 260, coupes et bols, vases fermés indéterminés (dessins Kh. Zaza).		Bourse trouvée dans un niveau immédiatement postérieur à l'année 77 apr. J.-C. (cl. M. Leguilloux).	
Fig. 272	240	Fig. 289	255
Flacons à parfum AR 130, 132, 135, 141, 151, flacons indéterminés, flacons à khôl (dessins Kh. Zaza).		Gourde, 180-190 apr. J.-C. D'après Leguilloux 2006, pl. 44.	
Fig. 273	241	Fig. 290	268
Objets en verre les plus significatifs (cl. J.-P. Brun)		Inv. 739, fr. 1. Sans les craquelures (dessin Fl. André).	
Fig. 274	245	Fig. 291	268
Meule n° 1 (cl. et dessin J.-P. Brun).		Inv. 739, fr. 1. Avec les craquelures (dessin Fl. André).	
Fig. 275	246	Fig. 292	268
Meule n° 2 (cl. et dessin J.-P. Brun).		Inv. 739, fr. 2. Sans et avec les craquelures (dessin Fl. André).	
Fig. 276	246	Fig. 293	269
Meule n° 3 (cl. et dessin J.-P. Brun).		Inv. 739, fr. 2. Revers: empreinte de bois dans le <i>gesso</i> (cl. H. Eristov).	
Fig. 277	247	Fig. 294	269
Meule n° 4 (cl. et dessin J.-P. Brun).		Inv. 739, fr. 3. Sans et avec les craquelures (dessin Fl. André).	
Fig. 278	247	Fig. 295	269
Meule n° 5 (cl. et dessin J.-P. Brun).		Inv. 739, fr. 4. Sans et avec les craquelures (dessin Fl. André).	
Fig. 279	248	Fig. 296	269
Meule n° 6 (cl. et dessin J.-P. Brun).		Inv. 739, fr. 5 (dessin Fl. André).	
Fig. 280	248	Fig. 297	269
Meule n° 7 (dessin J.-P. Brun).		Inv. 739, fr. 5. Revers: empreinte de bois dans le <i>gesso</i> (cl. H. Eristov).	
Fig. 281	249	Fig. 298	270
Meule n° 8 (dessin J.-P. Brun).		Inv. 739, fr. 6 (dessin Fl. André).	
Fig. 282	252	Fig. 299	270
Dégagement d'un <i>calceus</i> dans l'US 106 (phase 7) du dépotoir extérieur (cl. J.-P. Brun).		Inv. 739. Première hypothèse de restitution (dessin Fl. André).	
Fig. 283	253		
Les différents modèles de sandales présents à Didymoi (dessins M. Leguilloux).			
Fig. 284	254		
Reconstitution des deux modèles de <i>calcei</i> à empeignes ouvertes découverts à Didymoi. D'après Leguilloux 2006a, fig. 40.			

Fig. 300	270	Fig. 314	360
Inv. 739. Deuxième hypothèse de restitution (dessin Fl. André).		Tapestry weave 'over shared warp ends' (illustrator: J. M. Farrant).	
Fig. 301	271	Fig. 315	360
Inv. 737. Les quatre fragments avec des éléments de décor (dessin Fl. André).		Drawings of the decorative patterns of tunics nos. 3 and 14 discovered at Dura-Europos (illustrator: P. Cabrolier after Pfister, Bellinger 1945, p. 5, fig. 1).	
Fig. 302	272	Fig. 316	360
Inv. 738, fr. 1 (dessin Fl. André).		Drawing of the decorative patterns of tunic no. 11 discovered at Dura-Europos (illustrator: P. Cabrolier after Pfister, Bellinger 1945, p. 5, fig. 1).	
Fig. 303	272	Fig. 317	360
Inv. 738, fr. 2 (dessin Fl. André).		'False margins' on either side of contrasting band (illustrator: J. M. Farrant).	
Fig. 304	357	Fig. 318	360
Typical corner on a wool tunic or mantle (illustrator: J.M. Farrant).		A mantle decorated with <i>gamma</i> signs, based on mantle 43 from the Cave of Letters. (illustrator: P. Cabrolier after Yadin 1963, p. 238, fig. 78).	
Fig. 305	357	Fig. 319	361
Slit tapestry (illustrator: P. Cabrolier).		Diamond twills: theoretical specification for diamond centres (after Wild <i>et al.</i> 1998, p. 93, fig. 10).	
Fig. 306 a-c	357	Fig. 320	361
Principle of construction of a two-piece sleeveless tunic (illustrator: P. Cabrolier).		Diagrams of weft-ribbed twill-damasks and blocked twill-damasks of the dark blue cloak fragments from Didymoi (illustrator: D. Cardon).	
Fig. 307 a-b	358	Fig. 321	361
Outline of the one-piece long-sleeved tunic (illustrator: P. Cabrolier).		Plan of cloak 1A from grave B188 at Ballana. After Granger-Taylor 2008, fig. 6 (illustrators: J.M. Farrant and H. Granger-Taylor).	
Fig. 308 a-b	358	Fig. 322	362
Warp grouped for contrasting band by dropping some warp threads (illustrator: J. M. Farrant).		Position of fragments on the outline of a hood (illustrators: P. Cabrolier, D. Cardon and H. Granger-Taylor).	
Fig. 309	359	Fig. 323	362
Warp grouped for contrasting band by crossing some warp threads (illustrator: J.M. Farrant).		Two-faced looped-pile weaving in cap D99. 2511.4 (illustrator: P. Cabrolier).	
Fig. 310	359	Fig. 324	362
Possible arrangement of the decoration on a man's sleeved tunic in the mid-3rd century AD (illustrators: P. Cabrolier, H. Granger-Taylor and D. Cardon).		'Coptic' socks –method of production (after Burnham 1972, p. 123).	
Fig. 311	359		
The principle of interlocking tapestry weave (illustrator: J. M. Farrant).			
Fig. 312	360		
Drawings of the contrasting decoration on the shoulders of tunic fragments from Dura-Europos (illustrator: P. Cabrolier after Pfister, Bellinger 1945, p. 5, fig. 1).			
Fig. 313	360		
Reconstruction of the decoration on fragment DAM L95 from Palmyra (illustrator: P. Cabrolier after Pfister 1940, p. 22, fig. 8).			

TABLE DES PLANCHES

<p>Pl. 1 365 Carte du désert de Bérénice (dessin J.-P. Brun).</p> <p>Pl. 2 366 Cuir peint. Inv. 739, fr. 1 (cl. A. Bülow-Jacobsen).</p> <p>Pl. 3 a-d 367 Cuir peint. Inv. 739, fr. 1. Détails (cl. A. Bülow-Jacobsen).</p> <p>Pl. 4 a-g 368 Cuir peint. Inv. 739, fr. 2-5 (a-e: cl. A. Bülow-Jacobsen; f-g: cl. Fr. Juchaud).</p> <p>Pl. 5 a-f 369 Cuir peint. Inv. 737, fr. 1-4 (a, c-f: cl. A. Bülow-Jacobsen; b: cl. Fr. Juchaud).</p> <p>Pl. 6 370 Cuir peint. Inv. 738, fr. 1 (cl. A. Bülow-Jacobsen).</p> <p>Pl. 7 a-b 371 Inv. 738, fr. 2 et 3 (cl. A. Bülow-Jacobsen).</p> <p>Pl. 8 a-e 372 a-c. Pillow (photo © D. Cardon). d. Banquet scene, Pompeii, <i>triclinium</i> of the house "of Casti Amanti" (photo © J.-P. Brun, with the kind permission of Museo Archeologico Nazionale, Naples). e. <i>Kentrôn</i> (photo © D. Cardon).</p> <p>Pl. 9 a-e 373 a-b. Fragments of sleeveless tunic with ornament in true purple (photo © A. Bülow-Jacobsen). c. Painted coffin from Akhmim (photo © Trustees of the British Museum). d-e. Fragment from end of a belt (photo © A. Bülow-Jacobsen).</p> <p>Pl. 10 a-d 374 a. Four fragments of tunic with <i>clavi</i> in imitation purple (photo © D. Cardon). b. Mummy portrait of a soldier (photo © The Manchester Museum, The University of Manchester). c. Lower edge or</p>	<p>shoulder of tunic with <i>clavi</i> in imitation purple (photo © D. Cardon). d. Shoulder of tunic with <i>clavi</i> in imitation purple (photo © D. Cardon).</p> <p>Pl. 11 a-g 375 a. Fragment of tunic with <i>clavus</i> in imitation purple (photo © D. Cardon). b. Portrait of 'Ammonios' (photo © Musée du Louvre/G. Poncet). c. Fragments of tunic with composite <i>clavus</i> (photo © A. Bülow-Jacobsen). d. Mummy portrait of a boy (reproduced with the kind permission of the National Museum of Ireland). e. Fragment of tunic with composite <i>clavus</i> (photo © D. Cardon). f. Mummy portrait of a bearded man (photo © The J. Paul Getty Museum, Villa Collection, Malibu, California, USA). g. Fragment of tunic with double band (photo © D. Cardon).</p> <p>Pl. 12 a-e 376 a. Two fragments of tunic with motif of stepped pyramid (photo © D. Cardon). b. Fragments of tunic with decoration of triangles and arrow tang (photo © D. Cardon). c. Mummy portrait of a young woman (photo © Musée du Louvre / G. Poncet). d. Proposed reconstitution of original aspect of the tapestry decoration of the tunic of a guest in tomb 186, Palmyra (illustrator: P. Cabrolier). e. Detail of marble sculpture of guest in a banquet scene, tomb 186, Palmyra (photo © A. Schmidt-Colinet).</p> <p>Pl. 13 a-e 377 a. Marble sculpture of other guest, tomb 186, Palmyra (photo © A. Stauffer). b. Detail of tunic worn by same guest as in the preceding picture (photo © Eng. Waleed Asa'ad, Director of Palmyra Antiquities & Museums). c. Fragment of tunic with <i>clavus</i> prolonged by arrow motifs (photo © D. Cardon). d. Mummy portrait of an officer, after J. F. Romano <i>et al.</i>, <i>The Luxor Museum of Ancient Egyptian Art: catalogue</i>, Cairo, 1979, no. 290, p.186. Reproduced with the kind permission of the American Research</p>
---	---

Center in Egypt. **e.** Fragment of tunic with arrow motif (photo © H. Granger-Taylor).

Pl. 14 a-b 378

a. Fragment of tunic with *clavus* prolonged by arrow motifs and *swastika* (photo © D. Cardon). **b.** 'Tondo of the Two Brothers' (photo © A. Lecler, Ifao).

Pl. 15 a-e 379

a-b. Sacrifice of the Roman tribune Iulius Terentius, Temple of the Palmyrene Gods, Dura Europos (photo © Yale University Art Gallery). **c-e.** Fragments of tunics (c-d: photo © D. Cardon, e: photo © H. Granger-Taylor).

Pl. 16 a-c 380

a. Fragment of tunic with *clavus* dyed in true purple and kermes (photo © D. Cardon). **b.** Fragment of tunic with *clavus* in 'vegetable purple' (photo © D. Cardon). **c.** Mummy portrait of a woman (after Doxiadis 2000, no. 36, p. 53, with the kind permission of the author).

Pl. 17 a-d 381

a. Fragments of tunic with *clavus* in 'vegetable purple' (photo © D. Cardon). **b.** Mummy portrait of a woman (photo © Musée du Louvre/G. Poncet). **c-d.** Fragments of belts (photo © A. Bülow-Jacobsen).

Pl. 18 a-d 382

a. Fragment of mantle, weft of tapestry ornament dyed in true purple (photo © D. Cardon). **b.** Mummy portrait of a bearded man (photo © The J. Paul Getty Museum, Villa Collection, Malibu, California, USA). **c.** Mummy portrait of a woman on linen shroud (photo © The Metropolitan Museum of Art). **d.** Detail showing tapestry ornament (photo © The Metropolitan Museum of Art).

Pl. 19 a-f 383

a-c. Fragments of mantles with ornaments in imitation purple (photo © D. Cardon). **d.** Fragment of of mantle or tunic dyed with indigo and kermes (photo © D. Cardon). **e.** Mummy portrait of a woman (photo © Musée du Louvre/G. Poncet). **f.** Fragments of mantle (?) dyed in imitation purple (photo © D. Cardon).

Pl. 20 a-e 384

a-b. Fragments of green mantles with ornaments in imitation purple (photo © D. Cardon). **c.** Orange mantle in diamond twill with ornament in true purple (photo © D. Cardon). **d.** Microscopic view

of transversal sections of wool fibres of mantle D99.4306.2 (photo © C. Moulherat). **e.** Moses at the miraculous well of Be'er, copy of mural painting of the Synagogue of Dura-Europos (photo © Yale University Art Gallery, Dura-Europos Collection).

Pl. 21 a-e 385

a. Mummy portrait of a soldier (photo © The Provost and Fellows of Eton College). **b.** Mummy portrait of a soldier (photo © Antikensammlung, Staatliche Museen zu Berlin / J. Laurentius). **c.** Off-cut from dark blue cloak, with original curved selvedge (photo © D. Cardon). **d.** Detail of selvedge and warp fringes (photo © D. Cardon). **e.** Microscopic view of transversal sections of weft fibres of cloak D99.3327.1A (photo © C. Moulherat).

Pl. 22 a-f 386

a. Off-cut from semi-circular dark blue cloak, original curved selvedge (photo © D. Cardon). **b.** Detail of selvedge and warp fringes (photo © D. Cardon). **c.** Microscopic longitudinal view of warp fibres of cloak D99.4319.5 (photo © C. Moulherat). **d.** Off-cut from semi-circular dark blue cloak, original curved selvedge and warp fringes (photo © D. Cardon). **e.** Off-cut from semi-circular dark blue cloak, with original selvedge (photo © D. Cardon). **f.** Detail of selvedge (photo © D. Cardon).

Pl. 23 a-g 387

a. Off-cuts from dark blue semi-circular cloak (photo © D. Cardon). **b.** Same cloak, fragment A (photo © D. Cardon). **c.** Off-cut fragment from semi-circular dark blue cloak, with hem (photo © D. Cardon). **d.** Off-cut from white semi-circular cloak, with original curved selvedge (photo © D. Cardon). **e.** Detail of selvedge with closing cord (photo © D. Cardon). **f.** Off-cut from orange semi-circular cloak with original curved selvedge (photo © D. Cardon). **g.** Same cloak, detail (photo © D. Cardon).

Pl. 24 a-e 388

a. Fragment of re-cycled cloak (photo © D. Cardon). **b.** Off-cut of red wool fabric with hem (photo © D. Cardon). **c.** Fragment of red cloak, patched with other red textile (photo © D. Cardon). **d.** Red diamond twill, with two other textiles attached by sewing (photo © D. Cardon). **e.** Fragment of red block twill-damask (photo © D. Cardon).

Pl. 25 a-d	389	Pl. 28 a-d	392
a. Wall-painting from Pompeii, Museo Archeologico Nazionale, Naples (photo © J.-P. Brun, with the kind permission of the Museo Archeologico Nazionale). b. Fragments from the hood area of a <i>paenula</i> , tapestry decoration in true purple (photo © D. Cardon). c. Detail of stripe in true purple (photo © D. Cardon). d. Detail of needlework edging with S-twisted cord (photo © D. Cardon).		a-c. Long scarf found in room 44 at Didymoi (photo © A. Bülow-Jacobsen). d. Scarf found wrapped around deceased's head, El-Deir, Kharga Oasis (photo © Fleur Letellier-Willemin).	
Pl. 26 a-e	390	Pl. 29 a-d	393
a. Tip of hood from <i>paenula</i> with band in true purple, kermes and madder (photo © D. Cardon). b. Tip of hood from <i>paenula</i> , after conservation by Danièle Nadal (photo © D. Cardon). c. Fragment of <i>sagum</i> with needlework edging (photo © D. Cardon). d. Detail of needlework edging (photo © D. Cardon). e. Praetorian soldier wearing a <i>paenula</i> and a scarf around his neck (photo © J. Liepe/Bildagentur für Kunst, Kultur und Geschichte/ Antikensammlung, Staatliche Museen zu Berlin).		a-b. Cap in helmet shape (photo © D. Cardon). c-d. Aeneas wounded, wall painting, Pompeii (photo © Museo Archeologico Nazionale, Naples).	
Pl. 27 a-d	391	Pl. 30 a-d	394
a-b. Fragments of scarves (photo © D. Cardon). c. Fragments of scarf from Kainè Latomia (photo © D. Cardon). d. Fragment of checked fabric (photo © D. Cardon).		a. Cap in helmet shape (photo © D. Cardon). b. "Oriental" auxiliary archer on Trajan's column (photo © Raffaele D'Amato). c-d. <i>Cento</i> made of triangular segments of wool textiles (photo © D. Cardon).	
		Pl. 31 a-g	395
		a. Mummy portrait of a woman wearing red socks in sandals (photo © The Metropolitan Museum of Art). b-g. Fragments of wool socks (photo © D. Cardon).	